

肺鳞癌肿瘤浸润前沿细胞的EMT表型特点及 临床意义

宋英华 张才擎 曹智新 徐嘉雯 王令成 林晓燕

【摘要】 背景与目的 肿瘤浸润前沿 (invasive tumor front, ITF) 细胞是指肿瘤与宿主组织交界处的细胞或浸润的细胞团, 对判断患者预后具有较高的价值。本研究旨在探讨肺鳞状细胞癌 (squamous cell carcinoma, SCC) ITF 细胞的上皮-间叶转化 (epithelial-mesenchymal transition, EMT) 表型特点, 并分析与临床病理特征和预后的关系。方法 采用免疫组织化学SP法检测104例肺SCC ITF细胞中上皮性标志物E-cadherin/ β -catenin和间叶性标志物vimentin的表达。结果 E-cadherin在53.8% (56/104) 的肺SCC ITF细胞中表达下调, 较非ITF细胞表达降低 ($P=0.04$), 而vimentin在42.3% (44/104) ITF细胞中表达, 较非ITF肿瘤细胞表达升高; 两者均与肿瘤浸润方式、肺门淋巴结转移和患者预后相关性 ($P<0.01$)。 β -catenin在肺SCC ITF细胞的表达阳性率为67.3% (70/104), 低于非ITF细胞 ($P<0.01$), 在ITF细胞呈胞质和胞核阳性表达, 并与肺门淋巴结转移密切相关。结论 肺SCC ITF细胞中E-cadherin/ β -catenin表达缺失和vimentin高表达可能与患者的不良预后有关。

【关键词】 肺鳞状细胞癌; 肿瘤浸润前沿; E-cadherin; β -catenin; Vimentin

Significance of Epithelial-mesenchymal Transition Phenotype in Invasive Tumor Front Cells of Lung Squamous Cell Carcinoma

Yinghua SONG¹, Caiqing ZHANG¹, Zhixin CAO², Jiawen XU², Lingcheng WANG³, Xiaoyan LIN²

¹Department of Respiratory Medicine, Shandong Provincial Qianfoshan Hospital, Shandong University, Ji'nan 250014, China; ²Department of Pathology, Shandong Provincial Hospital Affiliated to Shandong University, Ji'nan 250021, China; ³Department of Respiratory Medicine, the Forth People's Hospital of Jinan, Ji'nan 250031, China

Corresponding author: Xiaoyan LIN, E-mail: linxiaoyanyan@163.com

【Abstract】 **Background and objective** The invasive tumor front (ITF) refers to cells or invasive nests in the junctional region of a tumor and its host. The ITF contains the most invasive cells of a tumor, and has a high prognostic value in carcinoma. The aim of this study is to investigate the epithelial-mesenchymal transformation phenotype in ITF cells of lung squamous cell carcinoma (SCC), and analyze the relationship between clinicopathological features and clinical outcomes of patients. **Methods** Semiquantitative immunohistochemistry was used to examine the expression of epithelial markers (E-cadherin and β -catenin) and mesenchymal marker (vimentin) in 104 lung SCC tumor tissues. **Results** A decrease in E-cadherin expression in ITF cells was observed in 56 of 104 (53.8%) tumors from patients. This result was markedly lower than that of non-ITF cells, which eventually developed metastatic tumors and were also associated with death ($P=0.04$). Vimentin expression was observed in 44 of 104 (42.3%) ITF cells, which was much higher than that of non-ITF cells. The downregulation of E-cadherin and overexpression of vimentin were associated with tumor invasive pattern, lymphatic metastasis, and poor prognosis ($P<0.01$). The expression of β -catenin was 67.3% (70/104) in ITF cells. Moreover, ITF cells showed more nuclear and plasma-positive cells, which were closely associated with metastasis ($P<0.01$). **Conclusion** The loss in expression of E-cadherin/ β -catenin and overexpression of vimentin in ITF cells may be associated with poor prognosis of lung SCC patients.

【Key words】 Lung squamous cell carcinoma; Invasive tumor front; E-cadherin; β -catenin; Vimentin

This research was supported by the grant from Research Fund for the Scientific and Technical Personnel Project of Jinan (to Yinghua SONG)(No.02144).

本研究受济南市科技明星计划 (No.02144) 资助

作者单位: 250014 济南, 山东大学附属山东省千佛山医院呼吸内科 (宋英华, 张才擎); 250021 济南, 山东大学附属省立医院病理科 (曹智新, 徐嘉雯, 林晓燕); 250031 济南, 济南市第四人民医院呼吸内科 (王令成) (通讯作者: 林晓燕, E-mail: linxiaoyanyan@163.com)

肺鳞状细胞癌 (squamous cell cancer, SCC) 是非小细胞肺癌 (non-small cell lung cancer, NSCLC) 的主要病理组织学类型之一, 其发病率在全球范围内呈逐年升高趋势。虽然早期肺SCC可以治愈, 但进展期患者的预后仍较差, 局部复发和远处转移是其主要原因。因此, 寻找可靠的预测复发及转移的分子标记物对于改善肺SCC的预后意义重大^[1]。

肿瘤浸润前沿 (invasive tumor front, ITF) 定义为位于肿瘤与宿主组织和器官交界处的3层-6层细胞或散在浸润的细胞团。研究^[2]证实, ITF细胞与肿瘤中心部分细胞的生物学特点迥异, 对判断肿瘤患者预后具有较高的参考价值。近年来研究发现, ITF细胞是发生上皮-间质细胞转化 (epithelial-mesenchymal transition, EMT) 最为明显的细胞, 其特点是肿瘤细胞失去上皮细胞表型 (E-cadherin), 或者是获得了间叶细胞表型 (vimentin), 从而浸润性增强并促进肿瘤恶性进展。其中, E-cadherin/ β -catenin复合体在调控肿瘤的EMT过程中参与了多种人类实体瘤的浸润、转移过程, 但在ITF细胞中的表达意义报道不多^[3-5]。本研究旨在探讨E-cadherin/ β -catenin复合体和vimentin在肺SCC ITF细胞中的表达, 分析ITF细胞的EMT表型与临床病理特点的关系以及在预测SCC患者预后中的价值。

1 对象与方法

1.1 组织学标本 收集2011年1月-2012年12月间山东省立医院胸外科手术切除的肺SCC标本104例, 采集患者完整的临床病理学资料。由两名病理学医生依据WHO (2004年) 标准对HE切片进行复审组织学诊断。所有患者均进行了肿瘤切除以及肺门淋巴结清扫术, 并在术前未进行放化疗。相关临床病理资料见表1。

1.2 组织病理学评估 根据分化程度将肺SCC分为高分化、中分化和低分化3组。根据TNM分期分为I期、II期、III期和IV期。肿瘤的浸润方式通过正常组织-肿瘤组织交界处评价, 根据Bryne's分类, 浸润方式分为4型: 1型为推挤型; 2型为肿瘤为指状浸润或分离的大肿瘤细胞岛; 3型为浸润

的肿瘤岛由大于15个细胞组成; 4型为浸润肿瘤细胞岛小于15个细胞, 包括条索样和单个细胞浸润^[6]。

1.3 免疫组织化学染色 采用SP法, 组织切片经脱蜡及梯度酒精水化, 3%过氧化氢H₂O₂封闭内源性的过氧化物酶, 0.01 M枸橼酸钠缓冲液 (pH6.0) 微波加热进行抗原修复。加入一抗室温孵育60 min, 山羊抗鼠二抗室温孵育30 min。抗体为E-cadherin单克隆抗体、 β -catenin单克隆抗体和vimentin多克隆抗体 (北京中杉生物技术公司)。切片PBS冲洗3次, DAB显色, 苏木素复染。免疫反应结果经2名病理学医师在未知临床数据的情况下分别进行判断。癌旁肺组织做为阳性对照, PBS代替一抗作为阴性对照。

1.4 染色结果判断 选择典型的阳性染色区域, 高倍镜下观察5个视野, 每个视野计数100个细胞, 总共计数500个细胞, 然后计算出阳性百分率。根据染色强度和分布进行半定量评分: 免疫组化分数=染色强度得分 \times 阳性率得分。染色强度分为: 阴性为0分, 弱阳性1分, 中等阳性2分和强阳性3分。阳性细胞比率分为: 阴性为0分, <10%为1分, 11%-50%为2分, 51%-80%为3分, \geq 81%为4分。根据最终得分将染色结果分为: 阴性, 为0分; 1分-4分为低表达, \geq 4分为高表达。肿瘤浸润前沿细胞的免疫组化染色结果判断也按照此标准进行^[7]。

1.5 随访和统计学分析 104例患者的随访时间为52周-144周, 中位随访时间为106周。总生存率和无病生存率应用Kaplan-Meier曲线计算, 用Log-rank检验对照。采用单因素和多因素Cox比例回归模型分析预后因素。临床病理学参数和E-cadherin、 β -catenin和vimentin的表达关系应用 χ^2 检验。数据分析应用SPSS 16.0 for windows统计分析软件。P<0.05为差异有统计学意义。

2 结果

2.1 EMT蛋白在肺SCC ITF细胞中的表达 E-cadherin在正常肺泡上皮呈胞膜强阳性表达, 在SCC中心部分肿瘤细胞表达降低或缺失 (33.0%, 34/104), 在ITF细胞中表达缺失率 (53.8%, 56/104), 较前两者明显降低

表1 E-cadherin、 β -catenin和vimentin在肺SCC肿瘤中央细胞及ITF细胞的表达

Tab 1 Comparison between E-cadherin, β -catenin and vimentin expression of ITF cells and tumor central cells

Group	E-cadherin				β -catenin				Vimentin			
	N	L	H	P	N	L	H	P	N	L	H	P
Non-ITF	14	20	70	0.008	7	9	88	0.013	80	16	8	0.008
ITF	26	30	48		13	21	70		60	24	20	

N: negative; L: low expression; H: high expression; ITF: invasive tumor front. SCC: squamous cell carcinoma.

($P < 0.05$)。β-catenin在正常肺泡上皮呈胞膜阳性,中心肿瘤组织阳性率为84.6% (88/104), 而ITF细胞的阳性率为67.3% (70/104), 较正常组织和非ITF细胞均明显降低 ($P = 0.01$), 部分细胞还出现了胞质和细胞核表达 (20.0%, 21/104)。Vimentin在正常肺组织上皮细胞不表达, 但在23.1% (24/104) 的SCC非ITF细胞的肿瘤组织强弱不等的阳性表达, 而在ITF的细胞阳性率明显增加 (42.3%, 44/104高表达) ($P = 0.008$) (图1, 表1)。

2.2 SCC ITF细胞中E-cadherin、β-catenin 和vimentin表达与各临床病理特征的关系 E-cadherin、β-catenin和vimentin在SCC ITF细胞的表达与患者的性别、年龄、肿瘤部位、肿瘤大小、组织学分化程度和临床分期均无相关性。ITF细胞中E-cadherin低表达和vimentin高表达在3型、4型浸润方式的ITF细胞中更为明显 (P 分别为0.01和0.02)。β-catenin在ITF细胞的表达与浸润方式无关, 但是在3型、4型浸润方式中出现细胞核/质异常染色的比率 (27.9%, 17/61) 明显高于1型、2型浸润方式 (15%, 6/40) ($P = 0.04$)。此外,

三者在ITF细胞中的表达均与肺门淋巴结转移和肿瘤复发相关。ITF细胞中E-cadherin下调组, β-catenin下调组和Vimentin上调组出现淋巴结转移率与对照组相比 (66.1% vs 45.8%; 73.5% vs 48.6%; 70.0% vs 48.4%), 具有明显差异 (P 分别为0.04、0.02和0.03)。ITF细胞中E-cadherin低表达组, β-catenin低表达组和vimentin高表达组出现肿瘤复发率与对照组相比 (35.7% vs 18.8%; 41.2% vs 21.4%; 42.5% vs 18.8%), 差异明显 (P 分别为0.04、0.04和0.01)。分析三者间的表达关系显示, E-cadherin的表达与β-catenin正相关 ($P = 0.01$), 与vimentin表达呈负相关 ($P = 0.035$); 而vimentin和β-catenin两者的表达不相关 (表2)。

2.3 生存分析 根据最后一次随访的结果, 24例 (23.1%) 患者无瘤存活, 20例 (19.2%) 患者带瘤生存, 60例患者 (57.7%) 死于肿瘤复发。Kaplan-Meier法分析显示ITF E-cadherin高表达组和vimentin低表达组的患者预后分别较ITF E-cadherin低表达组和vimentin高表达组好 ($P < 0.01$) (图2)。根据单因素的Cox比例风险回归模型分析, 肿瘤大

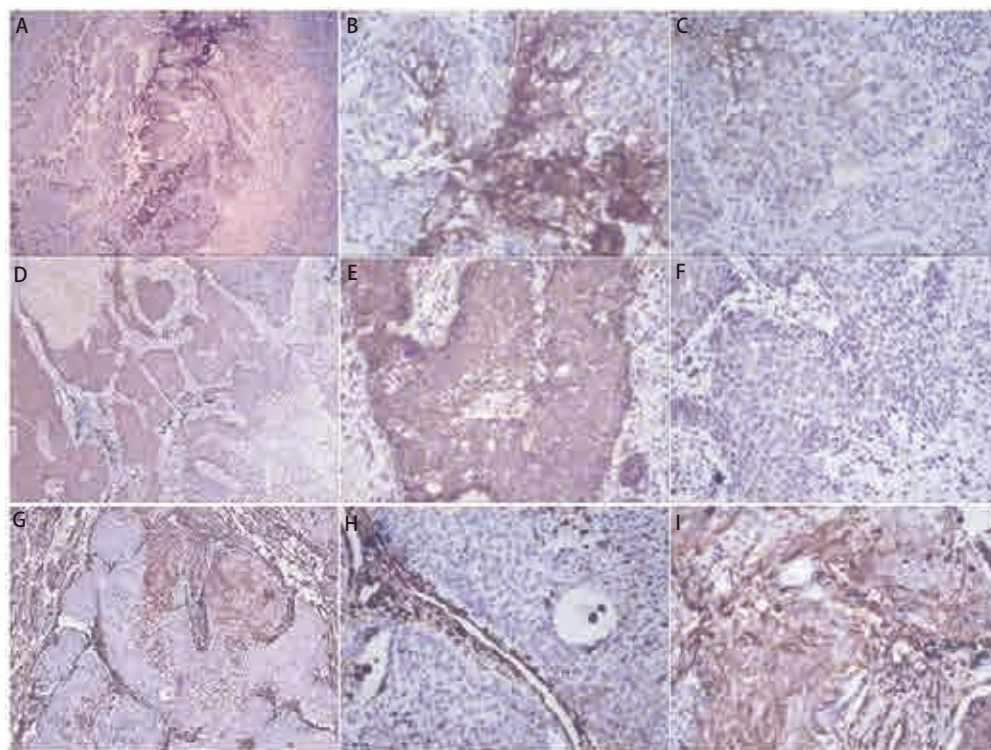


图1 EMT相关蛋白在肺SCC中的表达。E-cadherin在肺SCC组织中的表达情况 (A), 在中央肿瘤组织胞膜强阳性 (B), 而ITF细胞中为阴性 (C); β-catenin在肺SCC组织中的表达情况 (D), 显示在肿瘤中央细胞胞膜和胞浆阳性 (E), 而ITF组织中为阴性 (F); vimentin在肺SCC组织中的表达 (G), 显示肿瘤中央细胞为阴性表达 (H), 而在ITF组织中高表达 (I) (HE染色, A、D和G ×100倍; B、C、E、F、H、I ×400倍)。

Fig 1 EMT protein expression was examined by immunohistochemistry in lung SCC. Expression of E-cadherin in lung SCC (A): E-cadherin was strong positive membranous staining (B), but negative was found in ITF cells (C); Expression of β-catenin in lung SCC (D), β-catenin was membranous or cytoplasmic positive staining (E), but negative in ITF cells (F); Expression of vimentin in lung SCC (G): vimentin was cytoplasmic positive staining (H), but negative in ITF cells (I). (A, D, H, ×100; B, C, E, F, H, I, ×400). EMT: epithelial-mesenchymal transition.

小 ($P=0.04$)、淋巴结状态 ($P=0.04$)、ITF细胞的vimentin ($P<0.01$)和E-cadherin的表达水平 ($P<0.01$)与总生存率相关。在多因素Cox比例回归分析,ITF细胞的vimentin表达 ($P=0.042$)和E-cadherin表达 ($P=0.016$)与患者的总生存率和无病生存密切相关。

3 讨论

所谓ITF是指位于肿瘤与宿主组织或器官交界处最

前沿的3层-6层肿瘤细胞或分散的细胞团,该部分肿瘤细胞较之其他部分肿瘤细胞分化更差,其形态和功能特征更能反映肿瘤的生物多形性及侵袭性,众多研究发现多种肿瘤的预后与ITF细胞的生物学特性密切相关。

E-cadherin是上皮细胞中表达的一种钙依赖性跨膜糖蛋白。正常情况下E-cadherin的胞质内区段与 β -catenin形成复合体,作为细胞-细胞连接促进细胞间的粘附性,在维持细胞极性和组织学结构中发挥重要作用。已证实多种恶性上皮性肿瘤中E-cadherin/ β -catenin复合体表达下调与

表2 E-cadherin、 β -catenin和vimentin三者在SCC ITF细胞的表达与各种临床病理特征的关系

Tab 2 Relationship between E-cadherin, β -catenin and vimentin expression levels of ITF cells and clinical variables of SCC

Group	n	E-cadherin			β -catenin			vimentin		
		L	H	P	L	H	P	L	H	P
Gender				0.60			0.11			0.76
Male	72	34	38		20	52		45	27	
Female	32	22	10		14	18		19	13	
Age (yr)				0.82			0.49			0.87
≤ 50	38	21	17		14	24		23	15	
>50	66	35	31		20	46		41	25	
Tumor location				0.85			0.79			0.94
Central	81	44	37		27	54		50	31	
Peripheral	23	12	11		7	16		14	9	
Tumor size (cm)				0.14			0.07			0.45
≤ 3	62	37	25		16	46		40	22	
>3	42	19	23		18	24		24	18	
Histological differentiation				0.07			0.40			0.53
Well	27	15	12		9	18		19	8	
Moderate	54	25	29		15	39		31	23	
Poor	23	16	7		10	13		14	9	
Invasion pattern				0.01*			0.52			0.02*
1	18	6	12		6	12		13	5	
2	22	9	13		10	12		17	5	
3	35	18	17		10	25		23	12	
4	29	23	6		8	21		11	18	
TNM stage				0.44			0.30			0.12
I	41	24	17		11	30		29	12	
II/III	63	32	31		23	40		35	28	
Lymph node status				0.04*			0.02*			0.03*
N (+)	59	37	22		25	34		31	28	
N0	45	19	26		9	36		33	12	
Recurrence				0.04*			0.04*			0.01*
Yes	29	20	9		14	15		12	17	
No	75	36	39		20	55		52	23	

n: number of patients; L: low expression, including negative and low expression; H: high expression; N0: no nodal metastasis; N(+): nodal metastasis. *: $P<0.05$.

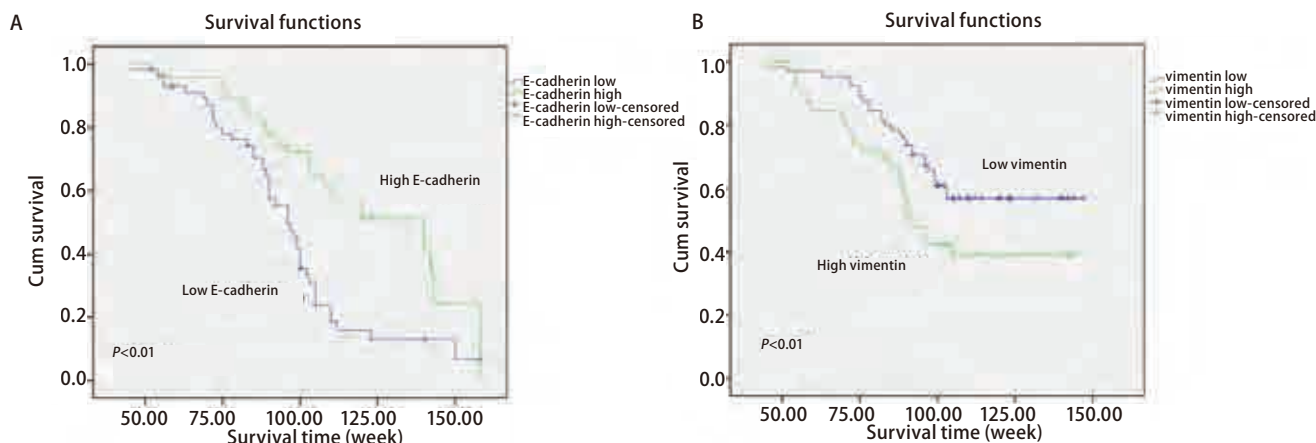


图2 ITF细胞中EMT表型与患者预后的关系。A: E-cadherin; B: vimentin。
Fig 2 Survival curve by expression of E-cadherin and vimentin in lung SCC. A: E-cadherin; B: vimentin.

肿瘤浸润转移和不良预后有关^[3-5]，但有关肺SCC ITF细胞的研究少见。本研究结果显示E-cadherin在肺SCC肿瘤组织尤其是在ITF细胞中表达较正常组织降低，并与肿瘤的浸润方式、肺门淋巴结转移和复发等因素密切相关，单因素及多因素分析均显示其是肺SCC的预后标记。这与Choi等^[8]的研究结果一致。有关SCC ITF细胞EMT表型的研究目前多见于口腔SSC肿瘤中，Kim等^[9]检测到83例口腔SCC ITF细胞中E-cadherin的表达降低并与淋巴结转移和患者预后有关。而Wang等^[10]研究认为E-cadherin在肺SCC ITF细胞的表达缺失并不是无瘤生存期的预后指标。

β -catenin是一种双向功能的连接素，正常位于胞膜。在致癌因子的作用下 β -catenin聚集于细胞质和/或胞核中，与TCF/LEF (T cell factor/lymphoid enhancer factor) 结合启动cyclin D1和c-myc等基因转录，加快肿瘤侵袭转移^[11]。 β -catenin在肺癌ITF中的表达鲜见报道。本研究证实肺SCC的ITF细胞中 β -catenin表达明显低于正常组织和非ITF肿瘤中心组织，同时观察到出现胞核异常表达，并且与肺门淋巴结转移和肿瘤复发相关。Choi等^[8]研究也认为 β -catenin的表达缺失与肺腺癌的预后相关，而与SCC的预后无关。Sasaya等^[12]研究了62例口腔SCC中 β -catenin的表达，显示ITF细胞 β -catenin表达降低出现胞质/胞核着色，并与不良预后有关。Zhang等^[13-15]认为肿瘤组织 β -catenin的表达缺失与肺癌患者无病生存期有关，而我们的研究中发现两者并无相关性，分析原因可能与样本数量和判断标准不同有关。目前，有关 β -catenin表达及预后意义的研究结论还有待大样本深入研究^[16,17]。

Vimentin是一种间质细胞的标志物，其表达与多种恶性肿瘤如乳腺癌、肝癌、结肠癌和前列腺癌的恶性表型和

不良预后相关^[18]。Soltermann等^[19]发现vimentin的启动子是 β -catenin/TCF细胞通路的靶点，共同参与了细胞侵袭和迁移。本文研究结果表明vimentin在肺SCC的ITF细胞表达较非ITF细胞明显增加，vimentin强阳性表达在肿瘤的ITF细胞中是常见的现象，并与肿瘤的浸润方式、肺门淋巴结转移和肿瘤复发密切相关。我们应用单因素或多因素分析显示，vimentin的过表达与短的总生存时间和无病生存时间有关，提示肿瘤ITF细胞vimentin高表达是提示不良预后的分子标志物之一。

通过分析E-cadherin/catenin和vimentin三者的表达关系，发现在肿瘤的ITF细胞E-cadherin和 β -catenin的表达呈正相关关系；vimentin和E-cadherin表达呈负相关，vimentin表达与E-cadherin丢失是细胞间叶化的特征，这些发现进一步支持了vimentin可下调E-cadherin表达的结论^[20]。然而vimentin表达与 β -catenin无关，提示可能是 β -catenin/TCF通路可能在调控vimentin表达的过程中未发挥作用。

总之，E-cadherin/ β -catenin与vimentin在肺SCC ITF细胞中的表达与患者的预后密切相关，这些指标的异常表达可预测患者的不良预后，其具体的预后价值尚需大样本资料的进一步研究。

参 考 文 献

- 1 Noh S, Shim H. Optimal combination of immunohistochemical markers for subclassification of non-small cell lung carcinomas: A tissue microarray study of poorly differentiated areas. Lung Cancer, 2012, 76(1): 51-55.
- 2 Sharma M, Sah P, Sharma SS, et al. Molecular changes in invasive front of oral cancer. J Oral Maxillofac Pathol, 2013, 17(2): 240-247.

- 3 Filiz AI, Senol Z, Sucullu I, *et al.* The survival effect of E-cadherin and catenins in colorectal carcinomas. *Colorectal Dis*, 2010, 12(12): 1223-1230.
- 4 Clevers H. Wnt/beta-catenin signaling in development and disease. *Cell*, 2006, 127(3): 469-480.
- 5 Zhai B, Yan HX, Liu SQ, *et al.* Reduced expression of E-cadherin/catenin complex in hepatocellular carcinomas. *World J Gastroenterol*, 2008,14(37): 5665-5673.
- 6 Tumuluri V, Thomas GA, Fraser IS. Analysis of the Ki-67 antigen at the invasive tumour front of human oral squamous cell carcinoma. *J Oral Pathol Med*, 2002, 31(10): 598-604.
- 7 Shi Y, Wu H, Zhang M, *et al.* Expression of the epithelial-mesenchymal transition-related proteins and their clinical significance in lung adenocarcinoma. *Diagn Pathol*, 2013, 24(8): 89-96.
- 8 Choi YS, Shim YM, Kim SH, *et al.* Prognostic significance of E-cadherin and beta-catenin in resected stage I non-small cell lung cancer. *Eur J Cardiothorac Surg*, 2003, 24(3): 441-449.
- 9 Kim SH, Kim JM, Shin MH, *et al.* Correlation of epithelial-mesenchymal transition markers with clinicopathologic parameters in adenocarcinomas and squamous cell carcinoma of the lung. *Histol Histopathol*, 2012, 27(5): 581-591.
- 10 Wang X, Zhang J, Fan M, *et al.* The expression of E-cadherin at the invasive tumor front of oral squamous cell carcinoma: immunohistochemical and RT-PCR analysis with clinicopathological correlation. *Oral Surg Oral Med Oral Pathol Oral Radiol Endod*, 2009, 107(4): 547-554.
- 11 Pagaki E, Patsouris E, Gonidi M, *et al.* The value of E-cadherin/beta-catenin expression in imprints of NSCLC: relationship with clinicopathological factors. *Diagn Cytopathol*, 2010, 38(6): 419-424.
- 12 Sasaya K, Sudo H, Maeda G, *et al.* Concomitant loss of p120-catenin and beta-catenin membrane expression and oral carcinomaprogression with E-cadherin reduction. *PLoS One*, 2013, 8(8): e69777.
- 13 Yamashita T, Uramoto H, Onitsuka T, *et al.* Association between lymphangio genesis-/micrometastasis- and adhesion-related molecules in resected stage I NSCLC. *Lung Cancer*, 2010, 70(3): 320-328.
- 14 Zhang Y, Han Y, Zheng R, *et al.* Expression of Frat1 correlates with expression of beta-catenin and is associated with a poor clinical outcome in human SCC and AC. *Tumour Biol*, 2012, 33(5): 1437-1444.
- 15 Xu X, Sun PL, Li JZ, *et al.* Aberrant Wnt1/beta-catenin expression is an independent poor prognostic marker of non-small cell lung cancer after surgery. *J Thorac Oncol*, 2011, 6(4): 716-724.
- 16 Chelidonis G, Kavantzias N, Patsouris E, *et al.* DNA ploidy, E-cadherin, beta-catenin expression and their clinicopathologic significance in imprints of non-small cell lung cancer. *Anal Quant Cytol Histol*, 2009, 31(5): 332-339.
- 17 Xu HT, Wang L, Lin D, *et al.* Abnormal beta-catenin and reduced axin expression are associated with poor differentiation and progression in non-small cell lung cancer. *Am J Clin Pathol*, 2006, 125(4): 534-541.
- 18 Satelli A, Li S. Vimentin in cancer and its potential as a molecular target for cancer therapy. *Cell Mol Life Sci*, 2011, 68(18): 3033-3046.
- 19 Soltermann A, Tischler V, Arbogast S, *et al.* Prognostic significance of epithelial-mesenchymal and mesenchymal-epithelial transition protein expression in non-small cell lung cancer. *Clin Cancer Res*, 2008, 14(22): 7430-7437.
- 20 Roger L, Jullien L, Gire V, *et al.* Gain of oncogenic function of p53 mutants regulates E-cadherin expression uncoupled from cell invasion in colon cancer cells. *J Cell Sci*, 2010, 123(Pt 8): 1295-1305.

(收稿: 2014-02-10 修回: 2014-03-11)

(本文编辑 丁燕)



Cite this article as: Song YH, Zhang CQ, Cao ZX, *et al.* Significance of Epithelial-mesenchymal Transition Phenotype in Invasive Tumor Front Cells of Lung Squamous Cell Carcinoma. *Zhongguo Fei Ai Za Zhi*, 2014, 17(4): 315-320. [宋英华, 张才擎, 曹智新, 等. 肺鳞癌肿瘤浸润前沿细胞的EMT表型特点及临床意义. *中国肺癌杂志*, 2014, 17(4): 315-320.] doi: 10.3779/j.issn.1009-3419.2014.04.05.